

УДК 539.3

А. С. ЗЕЛЕНАЯ

Белорусский государственный университет транспорта, Гомель, Беларусь

НАПРЯЖЕННО-ДЕФОРМИРОВАННОЕ СОСТОЯНИЕ УПРУГОЙ ТРЕХСЛОЙНОЙ ПРЯМОУГОЛЬНОЙ ПЛАСТИНЫ СО СЖИМАЕМЫМ ЗАПОЛНИТЕЛЕМ

Исследовано напряженно-деформированное состояние несимметричных по толщине упругих трехслойных пластин со сжимаемым наполнителем. Кинематические гипотезы основаны на гипотезе ломаной линии: для внешних слоев принимаются гипотезы Кирхгофа, в жестком сжимаемом наполнителе деформированная нормаль остается прямолинейной. Равномерно распределенная нагрузка приложена к внешней поверхности первого несущего слоя.

Ключевые слова: трехслойная прямоугольная пластина, сжимаемый наполнитель, упругость, метод Бубнова-Галеркина.

Введение. На сегодняшний день в строительстве все более широкое применение находят многослойные конструкции, которые при рациональном сочетании материалов с различными свойствами становятся способными сопротивляться многообразным внешним воздействиям, что позволяет сократить расходы в период эксплуатации. Частным случаем многослойных конструкций являются трехслойные элементы конструкций. При заданных ограничениях на прочность и жесткость, с точки зрения минимума весовых показателей в условиях работы на изгиб, трехслойные конструкции оказываются близкими оптимальным.

Вязкоупругопластические слоистые пластины и оболочки исследованы в монографии [1]. Колебания трехслойного стержня со сжимаемым наполнителем рассмотрены в работах [2–4]. Статьи [5, 6] посвящены исследованию статического деформирования трехслойных прямоугольных пластин с несжимаемым наполнителем, связанных с упругим основанием. В работе [7] рассмотрен цилиндрический изгиб трехслойных пластин в температурном поле.

Здесь выполнена постановка и решение задачи о статическом деформировании трехслойных прямоугольных пластин со сжимаемым наполнителем.

Постановка задачи. Рассматривается несимметричная по толщине упругая трехслойная прямоугольная пластина, состоящая из двух несущих слоев и сжимаемого наполнителя. Несущие слои предназначены для восприятия основной части механической нагрузки, поэтому они выполняются из материалов высокой прочности и жесткости. Наполнитель служит для образования монолитной конструкции, обеспечивает перераспределение усилий между несущими слоями, тем самым гарантирует совместную работу слоев пластины (рисунок 1).

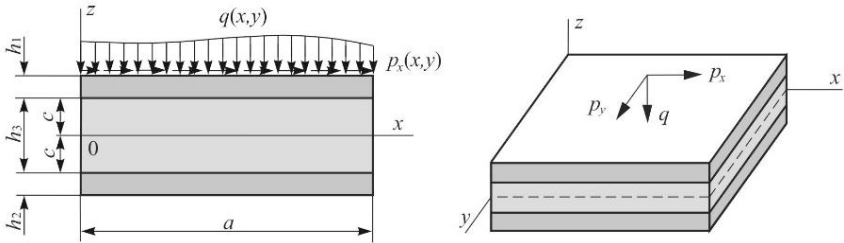


Рисунок 1 – Расчетная схема пластины

Для изотропных несущих слоев приняты гипотезы Кирхгофа. В жестком наполнителе справедливы точные соотношения теории упругости с линейной аппроксимацией перемещений его точек от поперечной координаты z . На границах контакта перемещения непрерывны. Материалы несущих слоев несжимаемы в поперечном и продольном направлении, в наполнителе учитывается обжатие. Деформации малые. Система координат x, y, z связывается со срединной плоскостью наполнителя. К внешней поверхности первого несущего слоя приложена произвольная распределённая нагрузка, проекции которой на координатные оси: $q(x, y), p_x(x, y), p_y(x, y)$. За искомые функции принимаются продольные перемещения $u_{kx}(x, y), u_{ky}(x, y)$ и прогибы $w_k(x, y)$ срединных поверхностей несущих слоев ($k = 1, 2$), после этого находим деформации и напряжения в слоях.

Продольные перемещения $u^{(k)}(x, y, z)$ и прогибы $w^{(k)}(x, y, z)$ в слоях можно выразить через искомые функции $w_1(x, y), w_2(x, y), u_{1x}(x, y), u_{1y}(x, y), u_{2x}(x, y), u_{2y}(x, y)$ следующими соотношениями ($k = 1, 2, 3$):

для первого несущего слоя ($c \leq z \leq c + h_1$)

$$u_x^{(1)} = u_{1x} - \left(z - c - \frac{h_1}{2} \right) w_{1,x}, \quad w^{(1)} = w_1, \quad u_y^{(1)} = u_{1y} - \left(z - c - \frac{h_1}{2} \right) w_{1,y};$$

для второго несущего слоя ($-c - h_2 \leq z \leq -c$)

$$u_x^{(2)} = u_{2x} - \left(z + c + \frac{h_2}{2} \right) w_{2,x}, \quad w^{(2)} = w_2, \quad u_y^{(2)} = u_{2y} - \left(z + c + \frac{h_2}{2} \right) w_{2,y};$$

для наполнителя ($-c \leq z \leq c$)

$$\begin{aligned} u_x^{(3)} &= \left(1 + \frac{z}{c} \right) \left(\frac{1}{2} u_{1x} + \frac{h_1}{4} w_{1,x} \right) + \left(1 - \frac{z}{c} \right) \left(\frac{1}{2} u_{2x} - \frac{h_2}{4} w_{2,x} \right), \\ u_y^{(3)} &= \left(1 + \frac{z}{c} \right) \left(\frac{1}{2} u_{1y} + \frac{h_1}{4} w_{1,y} \right) + \left(1 - \frac{z}{c} \right) \left(\frac{1}{2} u_{2y} - \frac{h_2}{4} w_{2,y} \right), \\ w^{(3)} &= \frac{1}{2} \left(1 + \frac{z}{c} \right) w_1 + \frac{1}{2} \left(1 - \frac{z}{c} \right) w_2, \end{aligned} \quad (1)$$

где z – расстояние от рассматриваемого волокна до срединной линии заполнителя.

С использованием выражений для перемещений (1) на основе вариационного принципа Лагранжа была получена система шести дифференциальных уравнений равновесия пластины в усилиях:

$$\begin{aligned} H_{1x} - V_{1y,y} - P_{1x,x} &= p_x, \quad H_{1x} + V_{2,y} + P_{2x,x} = 0, \\ H_{1y} - V_{1,x} - P_{1y,y} &= p_y, \quad H_{1y} + V_{2,x} + P_{2y,y} = 0, \end{aligned} \quad (2)$$

$$S_{1x,xx} + H_2 - T_{1x,x} - U_{1,xy} + S_{1y,yy} - T_{1y,y} = q + \frac{P_{x,x} h_1}{2} + \frac{P_{y,y} h_1}{2},$$

$$S_{2x,xx} - H_2 - T_{2x,x} - U_{2,xy} + S_{2y,yy} - T_{2y,y} = 0,$$

где $H_{kx}, H_{ky}, V_k, P_{kx}, P_{ky}, S_{kx}, S_{ky}, H_k, T_{kx}, T_{ky}, U_k$ – обобщенные усилия.

Шаровая и девиаторная части тензора деформаций в рассматриваемом случае будут следующими ($\varepsilon_{ij} = \varepsilon_{ij} - \varepsilon \delta_{ij}$, $i, j = x, y, z$):

$$\begin{aligned} \varepsilon^{(k)} &= \frac{1}{3}(\varepsilon_{xx}^{(k)} + \varepsilon_{yy}^{(k)}), \quad \varepsilon_{zz}^{(k)} = 0, \quad \varepsilon_{xx}^{(k)} = \frac{2}{3}\varepsilon_{xx}^{(k)} - \frac{1}{3}\varepsilon_{yy}^{(k)}, \quad \varepsilon_{yy}^{(k)} = \frac{2}{3}\varepsilon_{yy}^{(k)} - \frac{1}{3}\varepsilon_{xx}^{(k)} \quad (k=1,2), \\ \varepsilon^{(3)} &= \frac{1}{3}(\varepsilon_{xx}^{(3)} + \varepsilon_{yy}^{(3)} + \varepsilon_{zz}^{(3)}), \quad \varepsilon_{xx}^{(3)} = \frac{2}{3}\varepsilon_{xx}^{(3)} - \frac{1}{3}(\varepsilon_{yy}^{(3)} + \varepsilon_{zz}^{(3)}), \\ \varepsilon_{yy}^{(3)} &= \frac{2}{3}\varepsilon_{yy}^{(3)} - \frac{1}{3}(\varepsilon_{xx}^{(3)} + \varepsilon_{zz}^{(3)}), \quad \varepsilon_{zz}^{(3)} = \frac{2}{3}\varepsilon_{zz}^{(3)} - \frac{1}{3}(\varepsilon_{xx}^{(3)} + \varepsilon_{yy}^{(3)}). \end{aligned} \quad (3)$$

В слоях рассматриваемой пластины для связи тензоров напряжений и деформаций используется соотношение закона Гука в девиаторно-шаровой форме:

$$s_{ij}^{(k)} = 2G_k \varepsilon_{ij}^{(k)}, \quad \sigma^{(k)} = 3K_k \varepsilon^{(k)} \quad (i, j = x, y, z, (k=1,2,3)), \quad (4)$$

где G_k – сдвиговой модуль упругости материалов, $\varepsilon_{ij}^{(k)}$ – компоненты девиатора тензора деформаций; K_k – объемный модуль упругости материалов, $\varepsilon^{(k)}$ – шаровая часть тензора деформаций.

Компоненты тензора напряжений с учетом (4). При $k=1, 2$:

$$\sigma_{xx}^{(k)} = K_k^+ \varepsilon_{xx}^{(k)} + K_k^- \varepsilon_{yy}^{(k)}, \quad \sigma_{yy}^{(k)} = K_k^+ \varepsilon_{yy}^{(k)} + K_k^- \varepsilon_{xx}^{(k)}, \quad \sigma_{xy}^{(k)} = 2G_k \varepsilon_{xy}^{(k)}.$$

Для третьего слоя

$$\begin{aligned} \sigma_{xx}^{(3)} &= K_3^+ \varepsilon_{xx}^{(3)} + K_3^- \varepsilon_{yy}^{(3)} + K_3^- \varepsilon_{zz}^{(3)}, \quad \sigma_{yy}^{(3)} = K_3^+ \varepsilon_{yy}^{(3)} + K_3^- \varepsilon_{xx}^{(3)} + K_3^- \varepsilon_{zz}^{(3)}, \\ \sigma_{zz}^{(3)} &= K_3^+ \varepsilon_{zz}^{(3)} + K_3^- \varepsilon_{xx}^{(3)} + K_3^- \varepsilon_{yy}^{(3)}, \quad \sigma_{xz}^{(3)} = 2G_3 \varepsilon_{xz}^{(3)}, \quad \sigma_{yz}^{(3)} = 2G_3 \varepsilon_{yz}^{(3)}, \end{aligned} \quad (5)$$

где $K_k^+ = K_k + \frac{4}{3}G_k$, $K_k^- = K_k - \frac{2}{3}G_k$.

Применив соотношения закона Гука (4) и (5), выразим внутренние усилия и моменты через функции $u_{1x}, u_{2x}, u_{1y}, u_{2y}, w_1, w_2$. Подставив полученные выражения в систему уравнений равновесия (2), получим систему дифференциальных уравнений, описывающих перемещения в упругой трехслойной пластине со сжимаемым заполнителем:

$$\begin{aligned}
& a_1 u_{1,x} - a_1 u_{2,x} - a_4 u_{1,x,xx} - a_5 u_{2,x,xx} - a_{19} u_{1,x,yy} - a_{18} u_{2,x,yy} - a_{21} u_{1,y,xy} - a_{23} u_{2,y,xy} + \\
& + a_2 w_{1,x} + a_3 w_{2,x} - 2a_{24} w_{1,xy} + a_{25} w_{2,xy} - 2a_6 w_{1,xxx} + a_7 w_{2,xxx} = p_x, \\
& -a_1 u_{1,x} + a_1 u_{2,x} - a_5 u_{1,x,xx} - a_9 u_{2,x,xx} - a_{18} u_{1,x,yy} - a_{20} u_{2,y,yy} - a_{23} u_{1,y,xy} - a_{22} u_{2,y,xy} - \\
& - a_{10} w_{1,x} - a_{17} w_{2,x} - a_{24} w_{1,xy} + 2a_{25} w_{2,xy} - a_6 w_{1,xxx} + a_7 w_{2,xxx} = 0, \\
& a_1 u_{1,y} - a_1 u_{2,y} - a_4 u_{1,y,yy} - a_5 u_{2,y,yy} - a_{19} u_{1,y,xx} - a_{18} u_{2,y,xx} - a_{21} u_{1,x,xy} - a_{23} u_{2,x,xy} + \\
& + a_2 w_{1,y} + a_3 w_{2,y} - 2a_{24} w_{1,xy} + a_{25} w_{2,xy} - 2a_6 w_{1,yyy} + a_7 w_{2,yyy} = p_y, \\
& -a_1 u_{1,y} + a_1 u_{2,y} - a_5 u_{1,y,yy} - a_9 u_{2,y,yy} - a_{18} u_{1,y,xx} - a_{20} u_{2,y,xx} - a_{23} u_{1,x,xy} - a_{22} u_{2,x,xy} - \\
& - a_{10} w_{1,y} - a_{17} w_{2,y} - a_{24} w_{1,xy} + 2a_{25} w_{2,xy} - a_6 w_{1,yyy} + a_7 w_{2,yyy} = 0, \quad (6) \\
& -a_2 u_{1,x,xx} - a_2 u_{1,y,yy} + a_{10} u_{2,x,xx} + a_{10} u_{2,y,yy} + 2a_6 u_{1,x,xxx} + a_6 u_{2,x,xxx} + 2a_6 u_{1,y,yyy} + \\
& + a_6 u_{2,y,yyy} + 2a_{24} u_{1,x,xy} + a_{24} u_{2,x,xy} + 2a_{24} u_{1,y,xy} + a_{24} u_{2,y,xy} + a_{11} w_{1,xx} + \\
& + a_{11} w_{1,yy} - a_{12} w_{2,xx} - a_{12} w_{2,yy} + a_{15} w_{1,xxx} + a_{15} w_{1,yyy} - a_{16} w_{2,xxx} - \\
& - a_{16} w_{2,yyy} + a_{26} w_{1,xy} - a_{28} w_{2,xy} + a_8 w_{1,x} - a_8 w_{2,x} = q + \frac{p_x \cdot h_1}{2} + \frac{p_y \cdot h_1}{2}, \\
& -a_3 u_{1,y,yy} - a_3 u_{1,x,xx} + a_{17} u_{2,y,yy} + a_{17} u_{2,x,xx} - a_7 u_{1,y,yyy} - a_7 u_{1,x,xxx} - 2a_7 u_{2,y,yyy} - \\
& - 2a_7 u_{2,x,xxx} - 2a_{27} u_{2,y,xy} - a_{25} u_{1,y,xy} - 2a_{25} u_{2,x,xy} - a_{25} u_{1,x,xy} - a_{12} w_{1,xx} - \\
& - a_{12} w_{1,yy} + a_{14} w_{2,xx} + a_{14} w_{2,yy} - a_{16} w_{1,xxx} - a_{16} w_{1,yyy} + a_{13} w_{2,xxx} + \\
& + a_{13} w_{2,yyy} - a_{28} w_{1,xy} + a_{27} w_{2,xy} - a_8 w_{1,x} + a_8 w_{2,x} = 0,
\end{aligned}$$

где a_i ($i = 1, \dots, 28$) – коэффициенты, выражающиеся через объемный K_k и сдвиговой G_k модули упругости материалов, и геометрические параметры слоев пластины.

Краевая задача (6) об изгибе пластины замыкается добавлением граничных условий. Принимаем граничные условия, соответствующие свободному опиранию пластины по кромкам на неподвижные в пространстве жесткие опоры, где граничные условия в перемещениях ($k = 1, 2$):

$$\text{при } x = 0, a \quad u_{kx,xx} = u_{ky} = w_k = w_{k,xx} = 0; \quad (7)$$

$$\text{при } y = 0, b \quad u_{ky,yy} = u_{kx} = w_k = w_{k,yy} = 0.$$

Таким образом, получена система из шести линейных дифференциальных уравнений в частных производных относительно искомым перемещений.

2 Решение краевой задачи в перемещениях. Решение будем искать методом Бубнова-Галеркина. Для этого искомые перемещения представляем в виде разложения в двойные тригонометрические ряды, которые автоматически удовлетворяют граничным условиям (7):

$$u_{1,x} = \sum_{n,m=0}^{\infty} U_{1,kmn} \cos \frac{\pi n x}{a} \sin \frac{\pi m y}{b}, \quad u_{2,x} = \sum_{n,m=0}^{\infty} U_{2,kmn} \cos \frac{\pi n x}{a} \sin \frac{\pi m y}{b},$$

$$u_{1y} = \sum_{m,n=0}^{\infty} U_{1ymn} \sin \frac{\pi nx}{a} \cos \frac{\pi my}{b}, \quad u_{2y} = \sum_{m,n=0}^{\infty} U_{2ymn} \sin \frac{\pi nx}{a} \cos \frac{\pi my}{b}, \quad (8)$$

$$w_1 = \sum_{n,m=0}^{\infty} W_{1mn} \sin \frac{\pi nx}{a} \sin \frac{\pi my}{b}, \quad w_2 = \sum_{n,m=0}^{\infty} W_{2mn} \sin \frac{\pi nx}{a} \sin \frac{\pi my}{b},$$

где U_{1xmn} , U_{2xmn} , U_{1ymn} , U_{2ymn} , W_{1mn} , W_{2mn} – искомые амплитуды перемещений прямоугольной трехслойной пластины со сжимаемым заполнителем.

Положим продольную нагрузку $p_x \equiv 0$, $p_y \equiv 0$. Поперечную нагрузку q представим в виде разложения в двойной тригонометрический ряд:

$$q = \sum_{n,m=0}^{\infty} q_{mn} \sin \frac{\pi nx}{a} \sin \frac{\pi my}{b}, \quad q_{mn} = \frac{4}{ab} \int_0^a \int_0^b q(x, y) \sin \frac{\pi nx}{a} \sin \frac{\pi my}{b} dx dy. \quad (9)$$

После подстановки перемещений (8) и нагрузки (9) в систему уравнений равновесия (6) и необходимых преобразований получим систему линейных алгебраических уравнений для определения искомых амплитуд перемещений U_{1xmn} , U_{2xmn} , U_{1ymn} , U_{2ymn} , W_{1mn} , W_{2mn} :

$$\begin{aligned} b_1 U_{1xmn} + b_2 U_{2xmn} + b_{11} U_{1ymn} + b_{12} U_{2ymn} + b_3 W_{1mn} + b_4 W_{2mn} &= 0, \\ b_2 U_{1xmn} + b_5 U_{2xmn} + b_{12} U_{1ymn} + b_{13} U_{2ymn} + b_6 W_{1mn} + b_7 W_{2mn} &= 0, \\ b_{11} U_{1xmn} + b_{12} U_{2xmn} + b_{14} U_{1ymn} + b_{15} U_{2ymn} + b_{16} W_{1mn} + b_{17} W_{2mn} &= 0, \\ b_{12} U_{1xmn} + b_{13} U_{2xmn} + b_{15} U_{1ymn} + b_{18} U_{2ymn} + b_{19} W_{1mn} + b_{20} W_{2mn} &= 0, \\ b_3 U_{1xmn} + b_6 U_{2xmn} + b_{16} U_{1ymn} + b_{19} U_{2ymn} + b_8 W_{1mn} + b_9 W_{2mn} &= q_{mn}, \\ b_4 U_{1xmn} + b_7 U_{2xmn} + b_{17} U_{1ymn} + b_{20} U_{2ymn} + b_9 W_{1mn} + b_{10} W_{2mn} &= 0, \end{aligned} \quad (10)$$

где коэффициенты b_i выражаются через величины a_i и зависят от параметров m и n :

$$\begin{aligned} b_1 &= a_1 + a_4 \left(\frac{\pi n}{a} \right)^2 + a_{19} \left(\frac{\pi m}{b} \right)^2; \quad b_2 = -a_1 + a_5 \left(\frac{\pi n}{a} \right)^2 + a_{18} \left(\frac{\pi m}{b} \right)^2; \\ b_3 &= -a_2 \left(\frac{\pi n}{a} \right) - 2a_6 \left(\frac{\pi n}{a} \right)^3 - a_{24} \left(\frac{\pi n}{a} \right) \left(\frac{\pi m}{b} \right)^2; \\ b_4 &= -a_3 \left(\frac{\pi n}{a} \right) + a_7 \left(\frac{\pi n}{a} \right)^3 + a_{25} \left(\frac{\pi n}{a} \right) \left(\frac{\pi m}{b} \right)^2; \\ b_5 &= a_1 + a_9 \left(\frac{\pi n}{a} \right)^2 + a_{20} \left(\frac{\pi m}{b} \right)^2; \quad b_6 = a_{10} \left(\frac{\pi n}{a} \right) - a_6 \left(\frac{\pi n}{a} \right)^3 - a_{24} \left(\frac{\pi n}{a} \right) \left(\frac{\pi m}{b} \right)^2; \\ b_7 &= a_{17} \left(\frac{\pi n}{a} \right) + 2a_7 \left(\frac{\pi n}{a} \right)^3 + 2a_{25} \left(\frac{\pi n}{a} \right) \left(\frac{\pi m}{b} \right)^2; \\ b_8 &= a_8 - a_{11} \left(\frac{\pi n}{a} \right)^2 - a_{11} \left(\frac{\pi m}{b} \right)^2 + a_{15} \left(\frac{\pi n}{a} \right)^4 + a_{15} \left(\frac{\pi m}{b} \right)^4 + a_{26} \left(\frac{\pi n}{a} \right)^2 \left(\frac{\pi m}{b} \right)^2; \end{aligned}$$

$$\begin{aligned}
b_9 &= -a_8 + a_{12} \left(\frac{\pi n}{a} \right)^2 + a_{12} \left(\frac{\pi m}{b} \right)^2 - a_{16} \left(\frac{\pi n}{a} \right)^4 - a_{16} \left(\frac{\pi m}{b} \right)^4 - a_{28} \left(\frac{\pi n}{a} \right)^2 \left(\frac{\pi m}{b} \right)^2; \\
b_{10} &= a_8 - a_{14} \left(\frac{\pi n}{a} \right)^2 - a_{14} \left(\frac{\pi m}{b} \right)^2 + a_{13} \left(\frac{\pi n}{a} \right)^4 + a_{13} \left(\frac{\pi m}{b} \right)^4 + a_{27} \left(\frac{\pi n}{a} \right)^2 \left(\frac{\pi m}{b} \right)^2; \\
b_{11} &= a_{21} \left(\frac{\pi n}{a} \right) \left(\frac{\pi m}{b} \right); b_{12} = a_{23} \left(\frac{\pi n}{a} \right) \left(\frac{\pi m}{b} \right); b_{13} = a_{22} \left(\frac{\pi n}{a} \right) \left(\frac{\pi m}{b} \right); \\
b_{14} &= a_1 + a_4 \left(\frac{\pi m}{b} \right)^2 + a_{19} \left(\frac{\pi n}{a} \right)^2; b_{15} = -a_1 + a_5 \left(\frac{\pi m}{b} \right)^2 + a_{18} \left(\frac{\pi n}{a} \right)^2; \\
b_{16} &= -a_2 \left(\frac{\pi m}{b} \right) - 2a_6 \left(\frac{\pi m}{b} \right)^3 - a_{24} \left(\frac{\pi m}{b} \right) \left(\frac{\pi n}{a} \right)^2; \\
b_{17} &= -a_3 \left(\frac{\pi m}{b} \right) + a_7 \left(\frac{\pi m}{b} \right)^3 + a_{25} \left(\frac{\pi m}{b} \right) \left(\frac{\pi n}{a} \right)^2; \\
b_{18} &= a_1 + a_9 \left(\frac{\pi m}{b} \right)^2 + a_{20} \left(\frac{\pi n}{a} \right)^2; b_{19} = a_{10} \left(\frac{\pi m}{b} \right) - a_6 \left(\frac{\pi m}{b} \right)^3 - a_{24} \left(\frac{\pi m}{b} \right) \left(\frac{\pi n}{a} \right)^2; \\
b_{20} &= a_{17} \left(\frac{\pi m}{b} \right) + 2a_7 \left(\frac{\pi m}{b} \right)^3 + 2a_{25} \left(\frac{\pi m}{b} \right) \left(\frac{\pi n}{a} \right)^2.
\end{aligned}$$

Решая систему (10), получим амплитудные значения перемещений U_{1xmn} , U_{2xmn} , U_{1ymn} , U_{2ymn} , W_{1mn} , W_{2mn} .

Численный параметрический анализ. Численный анализ проводился для трехслойной пластины с материалами и толщинами слоев Д16Т–фторопласт–Д16Т, $h_1 = 0,04$ м, $h_2 = 0,02$ м, $h_3 = 0,2$ м. Механические характеристики материалов взяты в монографии [1]. Нагрузка равномерно распределена по всей поверхности пластины интенсивностью $q = -2$ МПа, размеры пластины $a = 1$ м, $b = 1$ м. При суммировании рядов (8) принималось 50 членов ряда.

На рисунке 2, a , b показано изменение продольных напряжений в слоях пластины вдоль оси x ($y = 0,5b$) при различных упругих характеристиках материалов: 1 – пакет Д16Т–фторопласт–Д16Т (пунктир); 2 – модули упругости заполнителя уменьшены в 10 раз, несущие слои – Д16Т (сплошная); 3 – значение параметров упругости несущих слоев увеличено в 10 раз, заполнитель – фторопласт (штриховая).

Продольные напряжения во внешнем несущем слое показаны на рисунке 2, a . Кривые без штриха соответствуют напряжениям на поверхности склейки этого слоя с заполнителем, со штрихом – 1', 2', 3' – напряжения на внешней поверхности. Уменьшение параметров упругости заполнителя приводит к увеличению напряжений по модулю на обеих поверхностях слоя в 3,5–4,5 раза. Причем в склейке они достигают по величине напряжения на внешней поверхности слоя. Увеличение модулей упругости несущих слоев вызывает

ещё больший рост продольных напряжений в этом слое, причем происходит перемена знака. По модулю на внешней поверхности напряжения незначительно больше, чем в склейке.

Аналогичная зависимость продольных напряжений характерна и для второго несущего слоя (рисунок 2, б). Кривые без штриха соответствуют напряжениям на внешней поверхности $z = -c - h_2$, со штрихом – 1', 2', 3' – напряжения на поверхности склейки слоя с наполнителем $z = -c$. Уменьшение параметров упругости наполнителя приводит к увеличению напряжений по модулю в 2,3–10 раз. Увеличение параметров упругости несущих слоев приводит к перемене знака и значительному увеличению по модулю напряжений в склейке с наполнителем и на внешней поверхности.

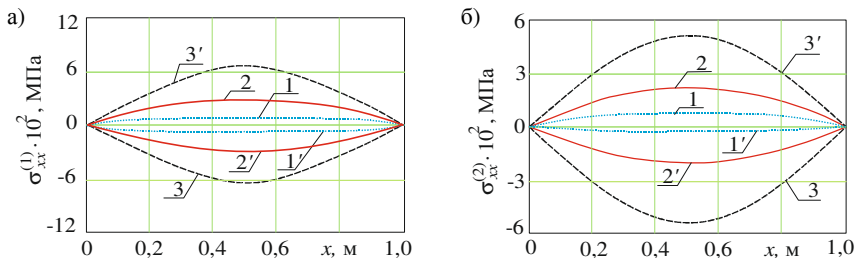


Рисунок 2 – Продольные напряжения в первом и втором несущих слоях

Продольные $\sigma_{xx}^{(3)}$ и поперечные $\sigma_{zz}^{(3)}$ напряжения в наполнителе показаны на рисунке 3, а, б соответственно. Кривые без штриха соответствуют напряжениям в склейке со вторым слоем $z = -c$, со штрихом – напряжения в склейке с первым слоем $z = c$.

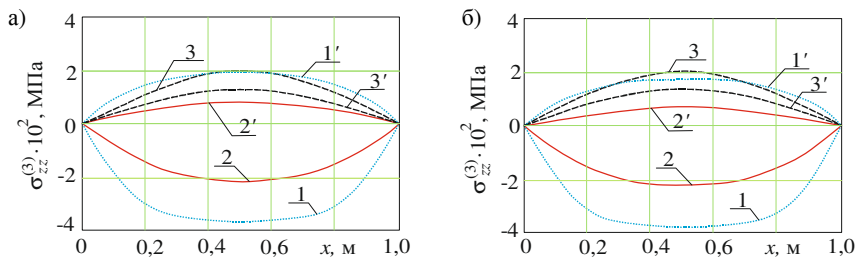


Рисунок 3 – Продольные и поперечные напряжения в третьем слое (заполнитель)

Уменьшение констант упругости наполнителя приводит к «выравниванию» кривых 1, некоторому уменьшению продольных и поперечных максимальных напряжений в склейке с первым слоем. На второй склейке экстремумы напряжений смещаются к середине, происходит уменьшение напряжений.

Увеличение параметров упругости несущих слоев приводит к перемене знака напряжений в склейке со вторым слоем, где $z = -c$. При этом во второй склейке наблюдается рост напряжений, экстремумы в данном случае достигают максимальных положительных значений для продольных и поперечных напряжений.

Заключение. Полученное в работе решение можно использовать для исследования напряженно-деформированного состояния упругой трёхслойной прямоугольной пластины со сжимаемым наполнителем при действии непрерывных распределенных нагрузок.

СПИСОК ЛИТЕРАТУРЫ

1 Старовойтов, Э. И. Вязкоупругопластические слоистые пластины и оболочки / Э. И. Старовойтов. – Гомель : БелГУТ, 2002. – 343 с.

2 Natural vibration of a sandwich beam on an elastic foundation / V. D. Kubenko [et al.] // International Applied Mechanics. – 2006. – Vol. 42, No 5. – P. 541–547.

3 Леоненко, Д. В. Вынужденные колебания трёхслойного стержня на упругом безынерционном основании / Д. В. Леоненко // Проблемы машиностроения и автоматизации. – 2007. – № 3. – С. 70–74.

4 Леоненко, Д. В. Колебания трёхслойного стержня под действием импульсных нагрузок различных форм / Д. В. Леоненко // Материалы, технологии, инструменты. – 2004. – Т. 9, № 2. – С. 23–27.

5 Старовойтов, Э. И. Изгиб прямоугольной трёхслойной пластины на упругом основании / Э. И. Старовойтов, Е. П. Доровская // Проблемы машиностроения и автоматизации. – 2006. – № 3. – С. 21–28.

6 Деформирование трёхслойной круговой пластины на упругом основании / А. Г. Горшков [и др.] // Экологический вестник научных центров Черноморского экономического сотрудничества. – 2005. – № 1. – С. 16–22.

7 Старовойтов, Э. И. Цилиндрический изгиб прямоугольной трёхслойной пластины в температурном поле / Э. И. Старовойтов, Д. В. Леоненко // Механика. Научные исследования и учебно-методические разработки. – 2014. – Вып. 8. – С. 179–185.

A. S. ZELENAYA

Belarusian State University of Transport, Gomel, Belarus

STRESS-DEFORMED STATE OF AN ELASTIC THREE-LAYERED RECTANGULAR PLATE WITH THE COMPRESSED FILLER

The stress-strain state of asymmetric in thickness elastic three-layered plates with a compressible filler is investigated. The kinematic hypotheses are based on the hypothesis of a broken line: the Kirchhoff hypotheses are accepted for the outer layers, the deformed normal remains rectilinear in a rigid compressible filler. A uniformly distributed load is applied to the outer surface of the first bearing layer.

Получено 28.09.2017